

中部工業大学 正員 伊藤和幸、学生員 炭島昭寛

要旨：ACI基準によるコンクリートの割増し係数 γ について説明し、その上下限値および定性的な破壊の確率 P_f に関する統計的考察を行なったものである。

§.1 ACI基準による割増し量の定めかた 定められたを表-1 ($\log_{10} / \text{kg/cm}^2$ に換算) に示す。表の各値は以下の3式のうち最大の U_R を満足するように求められていく。(U_R : 配合設計强度, K : 設計基準強度, U : 標準偏差)

$$U_R = K + 1.282 U \quad (\text{確率 } 1/10) \quad \text{--- EQ(1)} \quad U_R = K + (2.326 / \sqrt{3}) \cdot U \quad (\text{確率 } 1/100) \quad \text{--- EQ(2)}$$

$$U_R = K - 35.2 + 2.326 U \quad (\text{確率 } 1/100) \quad \text{--- EQ(3)}$$

図-1は $K=200 \text{ kg/cm}^2$ の場合について、表-1で求めた値から $y \sim V_R$ を示したもので、JIS, JSCEの値と併記して。注目すべきことは階段状になるとこと、 y の上下限値が定つてあることである。

§.2 ACI基準の上下限値の検討 昭和30年前後で完工した本邦の著名なダム工事の記録(表-2)より $\log_{10} U \sim \log_{10} U_R$ の関係をプロットすると図-2のようであり、 $U = 2.382 U_R^{0.496}$ となる。95%の土木では $U_R = 3.122 U_R^{0.496}$, $U_T = 1.818 U_R^{0.496}$ である。この式により $U \sim U_R$, V_R (コンクリートの変動係数) $\sim U_R$ を示したのが図-3である。図中、 V_R (ACI) 上・下限値とあるのは、 100 kg/cm^2 の間隔で $K = 100 \sim 800 \text{ kg/cm}^2$ について図-1の要領で図を作成し、 V_R の各上下限値に対して U_R との関係を示した。

§.3 定的な破壊の確率の推移 作用強度の平均値を U_S 、変動係数を V_S とすれば、 $N(U_S, U_S^2)$ と $N(U_R, U_R^2)$ が大きさ独立とすれば、定的な破壊の確率 P_f を導いて割増し係数 γ を求めるには次式によればよい。 $\Rightarrow 1 = P_f = 1 - (V_R \cdot t / 100)^2$, $V_S = 1 - (V_R \cdot t / 100)^2$, $w = 1 + V_S \cdot t / 100$, $w' = 1 + V_S \cdot t' / 100$ とする。

$$K/3 = U_S \text{ の場合}$$

$$y_1 = \{1 + \sqrt{1 - V_R \cdot V_S}\} / 3 V_R \quad \text{--- eq (1)}$$

$$K/2 \text{ における超過確率を指定した場合}$$

$$y_2 = \{1 + \sqrt{1 - V_R \cdot V_S}\} / 2 V_R w' \quad \text{--- eq (2)}$$

$$K \text{ における超過確率を } P_f \text{ と等しくした場合}$$

$$y_3 = \{1 + \sqrt{1 - V_R \cdot V_S}\} / V_R w \quad \text{--- eq (3)}$$

これらを用意したものが図-4であり、 y_2 の場合の $t = 2.324$ (超過確率 1/100) としている。なお、図中、○印は図-1の要領で求めた階段の始点を、×印は階段の終点を、 100 kg/cm^2 間隔で $K = 100 \sim 800 \text{ kg/cm}^2$ について求めたものをプロットしている。

§.4 結果

1. 本邦の実例では、 $U \sim U_R$ は、 U_R が大きいほど増大するが、増加率は次第に減少する。ACI基準では U の最大値を定めておりるので、図-3に見られるように U_R が大きいほど V_R が小さくなる。

2. 下限値については実用の U_R の広範囲にわたって ACI の方が低い。

3. $V_R \sim y$ (図-4) で明らかのように、JIS は ACI の上限値に近い。

4. eq(3)では、ACI基準は $P_f = 10^{-2}$ ($V_S = 20$)、JIS は $P_f = 10^{-4}$ ($V_S = 20$) を満足している。

5. eq(2)では、ACI は $P_f = 10^{-4}$ ($V_S = 30$)、 $P_f = 10^{-3}$ ($V_S = 0$)、JIS は $P_f = 10^{-6}$ ($V_S = 0$)、JSCE (ROAD)

表-1 ($\log_{10} / \text{kg/cm}^2$)

表-2

U	U_R
21.1 未満	$K + 28.1$
21.1~28.1	$K + 38.7$
28.1~35.2	$K + 49.2$
35.2~42.2	$K + 63.3$
42.2 以上	$K + 84.4$
未知の場合	$K + 84.4$

試験 (日)	代表標本数
7. 28, 91	18
7. 28, 91	3
28, 91, 181	7
28, 91	6
7. 28, 91	9
28,	5

最大値 417 kg/cm^2 , 最小値 72 kg/cm^2 $\Sigma = 48$

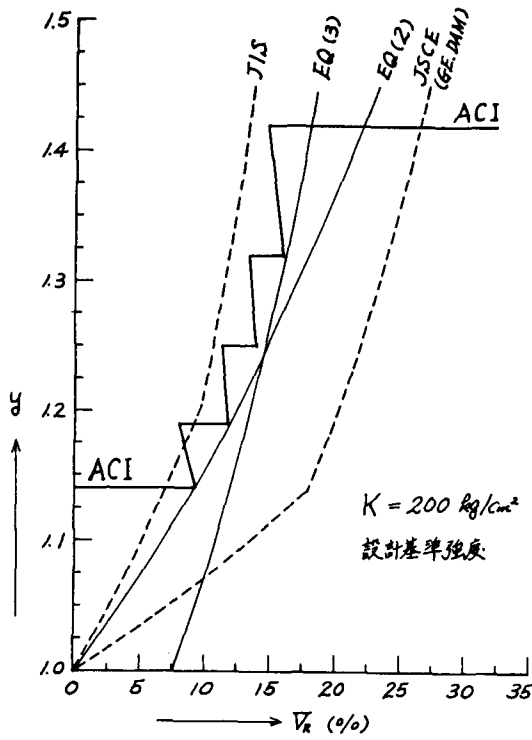


図-1 $V_R \sim y$

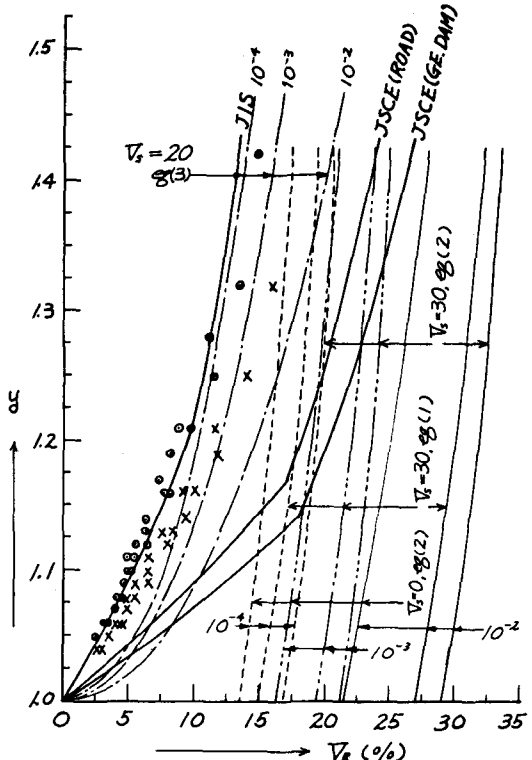


図-4 $V_R \sim y (P_f)$

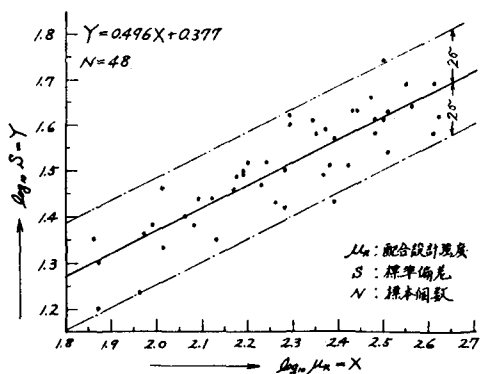


図-2 $\log_{10} M_R \sim \log_{10} S$

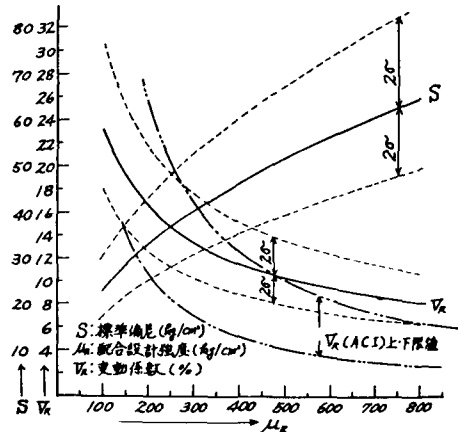


図-3 $M_R \sim S, V_R$

は $P_f = 10^{-3}$ ($V_s = 30$)、一般およびダム用では $P_f = 10^{-2}$ ($V_s = 0$) を満足している。

6. y の下限値は図-4の図上では、 $g(1), (2)$ の場合は設定できない。 $g(3)$ の場合は設定可能である。

7. y の上限値は P_f および V_s の挙動方にによって設定可能である。

§.5 おわりに 脅錆偏差と配合設計強度の関係は、図-3で見られるように M_R の下方では本邦の実例と ACI では大差はないが、 M_R が大きくなるとその差はかなり大きくなる。管理技術を進んだ昨今、関係各位の輿論を希). 本論作成にあたり御討議御協力いただいた京都大学、岡田清教授に深謝します。